

INDUCIDO ó ARMADURA , CORRIENTE ALTERNA , UBICADO EN EL ESTATOR ,
EN GENERAL TRIFÁSICO (3 BUBINAS ESTATORICAS A INTERVALOS DE
120° ELÉCTRICOS) (SIMÉTRICO RESPECTO A
CUALQUIERA DE LAS FASES)

INDUCTOR ó CAMPO , CORRIENTE CONTINUA , SOLIDARIO AL ROTOR , BUBINADO
CONCENTRADO ALREDEDOR DE EXPANSIONES POLARES (MÁQ. POLOS
SALIENTES) ó REPARTIDO EN RANURAS PRACTICADAS EN LA MASA DE
UN ROTOR CILÍNDRICO (MÁQ. ROTOR LISO)

a rotación uniforme del campo magnético en el entrehielro genera en las bobinas
estatoricas voltajes desfasados 120° en el tiempo.

Si se recorrido el bobinado de armadura por corrientes trifásicas balanceadas
se crea en el entrehielro una fmm que puede ser resuelta en armónicos espac
i demuestra que la fundamental gira en el entrehielro a la velocidad de sincron
no impuesta por la frecuencia de las corrientes estatoricas , mientras que los armónic
os pares giran a velocidades diferentes.

de resumen → interacción campo magnético rotor , con campo magnético de
1^{er} armónico generado por el estator , si el rotor gira a la
velocidad síncronica .

a conversión electromagnética de energía puede tener lugar en cualquier dirección.

En operación normal el campo magnético resultante en el entrehielro se giratorio
respecto a los devueltas del estator) a la estructura magnética que les sirve de
soporte . Aparecen voltajes inducidos en el hierro al igual que en las bobinas)
se lamine el hierro del estator de manera de "romper" los caminos de las
corrientes parásitas) minimizar las pérdidas si² originadas por dichas corrien
tes

27

los armónicos de la fmm creada por la armadura giran en el entorno a velocidades distintas de la sincrónica y generan campos magnéticos que se mueven en relación al rotor. Estos campos contribuyen a la creación de corrientes parásitas en la superficie del rotor, por lo que es conveniente laminar al menos la superficie del rotor.

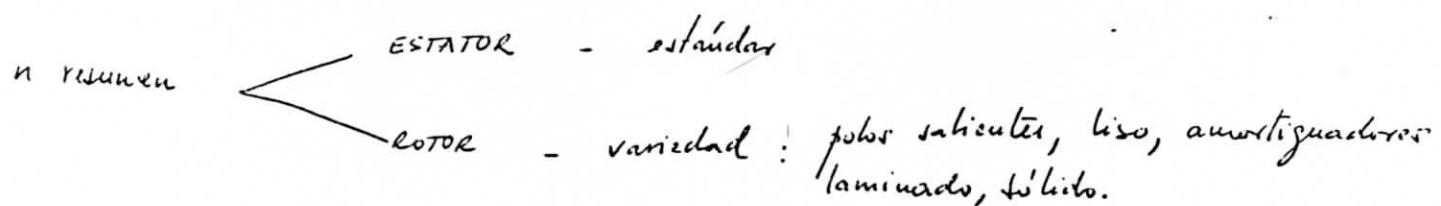
maquinaria de polos salientes → expansiones polares laminadas.
" " rotor liso → única fuerza sólida de acero.

Las máquinas de polos salientes tienen su rotor provisto de AMORTIGUADORES constituidos por barras de cobre o de bronce colocadas en ranuras practicadas en la superficie de expansiones polares. Barras que se unen entre sí en sus extremos por medio de anillas conductoras formando una especie de jaula de ardilla.

Las máquinas de rotor liso la parte maciza del hierro rotórico juega el rol amortiguador.

Los amortiguadores se oyen a toda variación rápida del flujo a través del rotor.

- Limitan :
- arranque del motor sincrónico como asincrónico.
 - amortiguar las oscilaciones rotóricas.
 - reducen sobre tensiones bajo ciertas condiciones de cortocircuito.
 - ayuda a la sincronización de la máquina.



En el presente curso estudiaremos un método analítico que permitirá examinar el desempeño de la máquina sincrónica tanto desde el punto de vista de su comportamiento dinámico como de régimen. Será necesaria la idealización de la máquina, la cual será considerada como un grupo de bobinas cuyas superficies de self-inducción e inducción mutua varían con el tiempo.

Los devanados amortiguadores tienen en cuenta todos los circuitos cerrados (excepto devanado de campo) que existen en el rotor. Son circuitos a los cuales no se le aplican voltajes externos.

Consisten en general en haces de cobre o bronce cubiertos en ranuras practicadas en las varas polares de las máquinas de polos salientes, conectadas entre ellas en sus extremos y medio de anillos formando una especie de jaula de ardilla o por medio de segmentos existen algunas veces los denominados collares de campo que sirven como soporte del bobinado de campo y que forman circuitos cerrados alrededor de los polos.

Hay también caminos o circuitos de corriente parásitas en el hierro del núcleo rotatorio, sea este sólido o laminado.

Estos circuitos cerrados reaccionan ante los cambios de flujo de la máquina y para tener una representación completa de la misma es necesario considerar un gran número de circuitos.

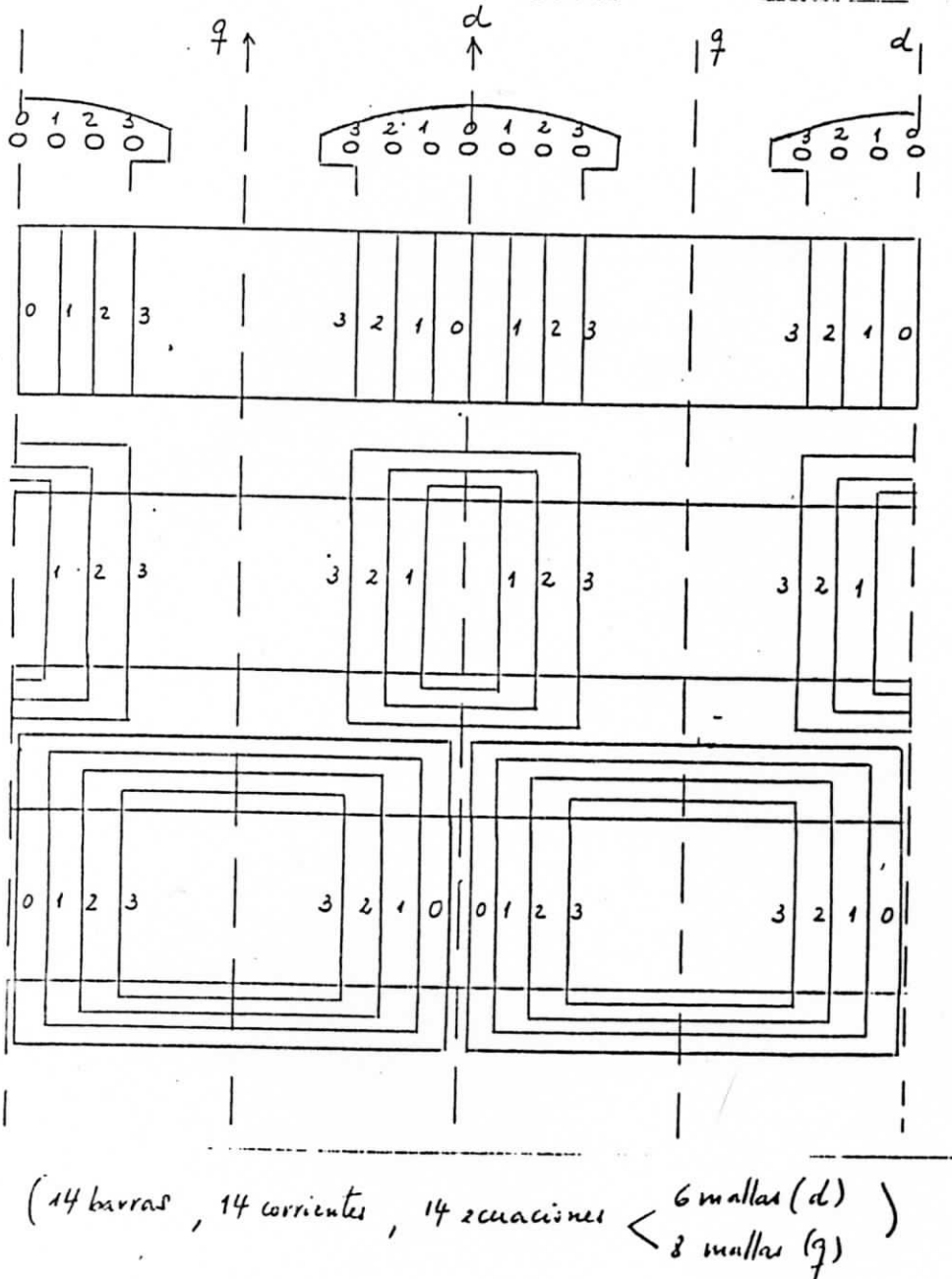
Todos los circuitos amortiguadores son normalmente simétricos con respecto a ambos ejes de la máquina y pueden ser representados por medio de m bobinas según el eje directo y n bobinas según el eje en cuadratura.

Las corrientes parásitas en el hierro equivaldrían a una jaula de ardilla con infinitas barras y se requerirían por lo tanto un número infinito de bobinas para su exacta representación, sin embargo a efectos prácticos se considera sólo un número reducido de bobinas.

En la mayoría de las máquinas de polos salientes las barras amortiguadoras no están conectadas entre polos, pero la corriente puede circular entre polos en los extremos del rotor ya que se cierra el circuito por el hierro del núcleo pues las barras no son aisladas. Esto implica que la representación circuital es una aproximación pues la corriente está confinada a circular únicamente por las barras sino que parte de ella se dispersa por el hierro. Este efecto es pequeño sobre todo en el espacio interpolar y en los turbogeneradores (rotor liso) en los cuales las corrientes en el hierro juegan el papel de amortiguadores.

23

Las bobinas que representan las barras o los caminos de corriente parásitos se interconectan en los extremos del núcleo como a continuación se explica. 203



Máquina bipolar con un amortiguador formado por 7 barras por polo cuyo desarrollo se muestra en la figura.

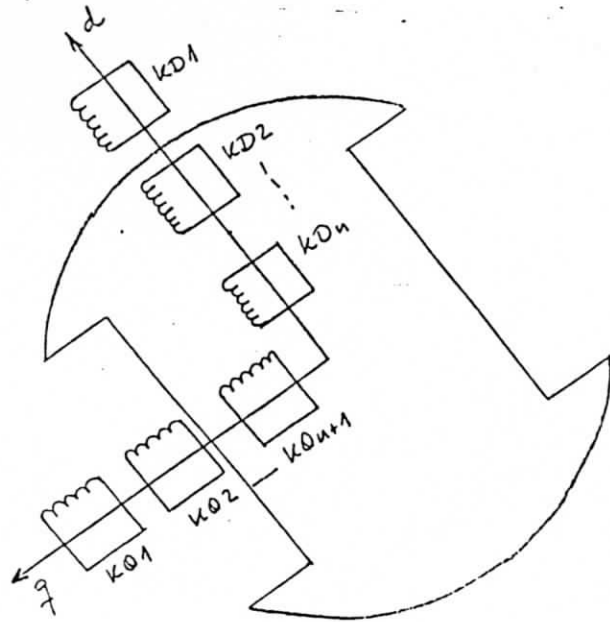
Se indica esquemáticamente como se tienen en cuenta los circuitos amortiguadores distribuyéndolos por los grupos de circuitos. Un grupo formado tomando dos a dos las barras simétricas con relación al eje polar.

Otro se forma tomando de a dos las barras simétricas con relación al eje interpo lar.

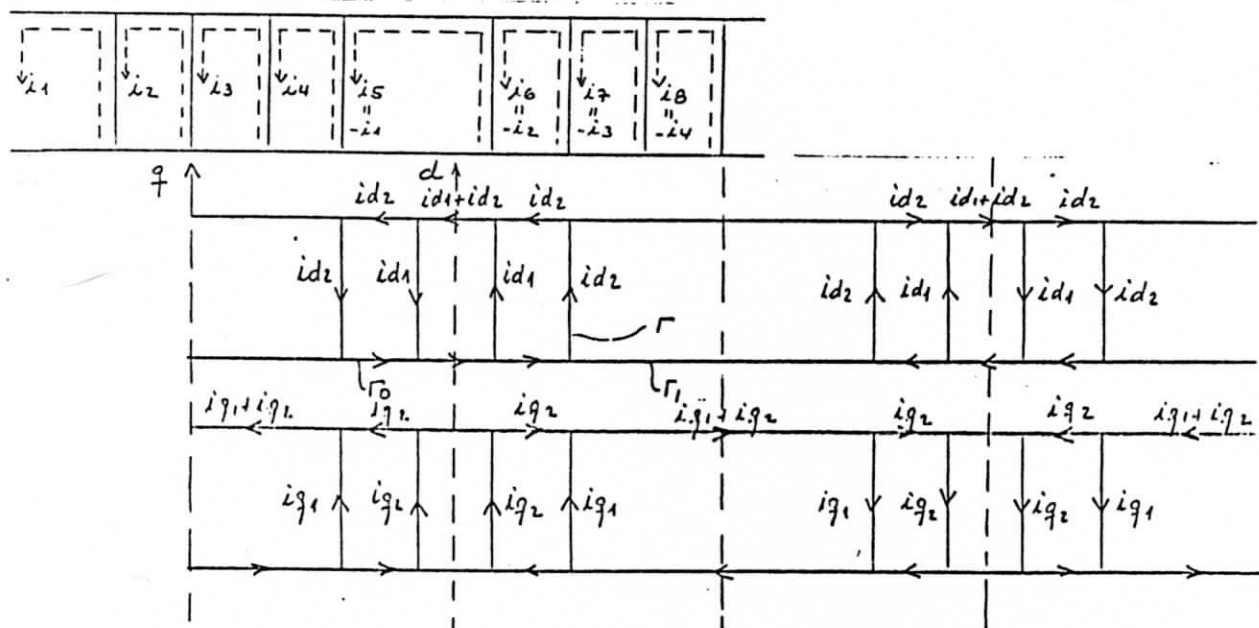
Características de la representación

Si hay $2n$ o $2n+1$ barras por fiesta polar, se tendrán n cuadros en cortocircuito según el eje polar. Cada uno de los n circuitos está acoplado magnéticamente a los otros $n-1$, al devanado de campo y a los tres arrollamientos estatoricos. Estos n cuadros están acoplados eléctricamente presentando impedancias comunes debidas a una parte de los trayectos de sus corrientes son comunes. (anillos o segmentos de los extremos)

2. Si hay $2n$ o $2n+1$ barras por polo polar, los amortiguadores equivalen a n o $n+1$ cuadros en cortocircuito según el eje interpololar. 204
 Estos cuadros están acoplados eléctricamente y magnéticamente entre ellos y magnéticamente con los tres arrullamientos estáticos.
3. Los cuadros según el eje polar no presentan inductancia mutua con los cuadros según el eje interpololar ya que sus ejes son perpendiculares.
4. Los efectos de caídas de tensión mutuas entre cuadros de dos familias tienen una resultante nula a causa de la simetría de los amortiguadores respecto a los ejes polar e interpololar.
 Toda caída de tensión que aparece en una barra o fuerza de anillo situada en un lado de un polo es igual y opuesta a la que se produce en la barra o fuerza de anillo simétrico con respecto al eje del polo
5. Si despreciamos los acoplos resistivos el esquema circuital equivalente de los devanados amortiguadores se indica en la figura



Círcuito de 8 mallas que se reducen a 4 mallas con corrientes distintas por las características de simetría del campo magnético en el entrehierro. Para el análisis consideraremos 2 mallas i_{d1} e i_{d2} simétricas respecto al eje d y 2 mallas i_{q1} e i_{q2} simétricas respecto al eje q . -



$$KD_1) \quad 0 = r(i_{d1} + i_{q2}) + 2r_o(i_{d1} + i_{d2}) + r(i_{d2} - i_{q2}) + \frac{d\Phi_{KD_1}}{dt}$$

$$KD_2) \quad 0 = r(i_{d2} + i_{q1}) + 2r_o(i_{d2} - i_{q1}) + 2r_o(i_{d1} + i_{d2}) + 2r_o(i_{d2} + i_{q2}) + r(i_{d2} - i_{q1}) + \frac{d\Phi_{KD_2}}{dt}$$

$$KO_1) \quad 0 = r(i_{q1} + i_{d2}) + 2r_1(i_{q1} + i_{q2}) + r(i_{q2} - i_{d2}) + \frac{d\Phi_{KO_1}}{dt}$$

$$KO_2) \quad 0 = r(i_{q2} + i_{d1}) + 2r_o(i_{q2} - i_{d2}) + 2r_1(i_{q1} + i_{q2}) + 2r_o(i_{q2} + i_{d2}) + r(i_{q2} - i_{d1}) + \frac{d\Phi_{KO_2}}{dt}$$

$$\Rightarrow KD_1) \quad 0 = 2(r+r_o)i_{d1} + 2r_o i_{d2} + \frac{d\Phi_{KD_1}}{dt}$$

$$KD_2) \quad 0 = 2r_o i_{d1} + 2(r+3r_o)i_{d2} + \frac{d\Phi_{KD_2}}{dt}$$

$$KO_1) \quad 0 = 2(r+r_1)i_{q1} + 2r_1 i_{q2} + \frac{d\Phi_{KO_1}}{dt}$$

$$KO_2) \quad 0 = 2r_1 i_{q1} + 2(r+r_1+2r_o)i_{q2} + \frac{d\Phi_{KO_2}}{dt}$$

Hipótesis simplificadorias:

1. DISTRIBUCIÓN SINUSOIDAL PARA LAS ESPIRAS DE LOS DEVANADOS DEL ESTATOR

Implica: distribución espacial sinusoidal de los fmm dedicados a los arrullamientos estatórico a lo largo del entrehierro. Se desprecian armónicos espaciales de fmm.

La comparación del modelo con resultados experimentales justifica esta hipótesis.

2. SE DESPRECIAN EL EFECTO DEL RANURADO ESTATORICO EN EL VALOR DE LAS INDUCTANCIAS PROPRIAS Y MUTUAS DE LOS ARRULLAMIENTOS. PARA ROTOR LIBRE SE DESPRECIAN EL RANURADO DEL ROTOR.

Buena aproximación con la experimentación para máquinas con gran número de ranuras o un número pequeño de ranuras pero muchas polos.

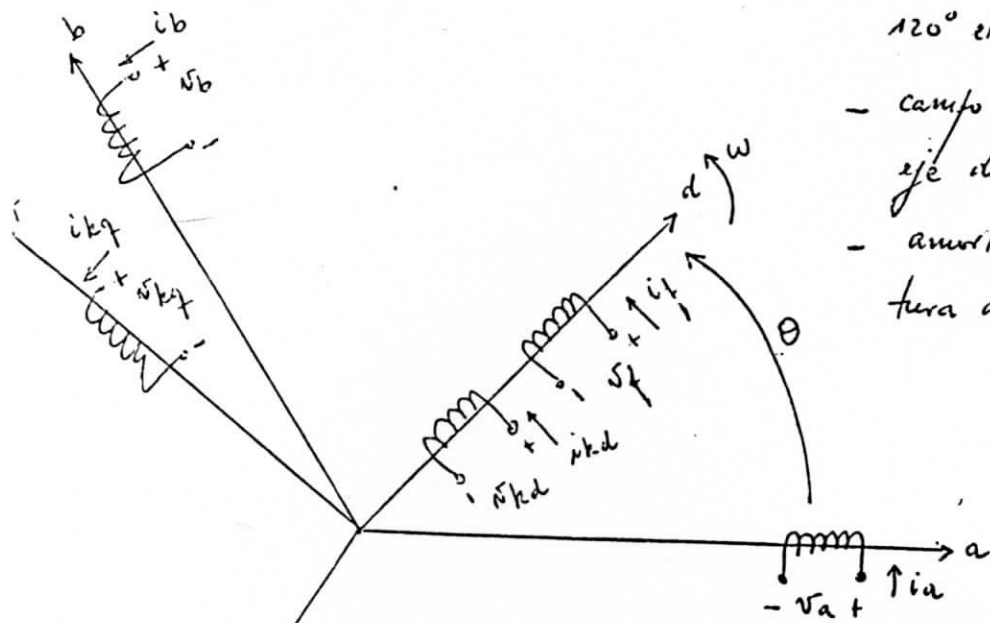
3. SE DESPRECIAN LOS EFECTOS DE SATURACIÓN E HISTERESIS MAGNETICA. MÁQUINA MAGNETICAMENTE LINEAL.4. SE DESPRECIAN LAS CORRIENTES PARASITAS DE FOUCAULT EN EL HIERRO DEL CIRCUITO MAGNETICO.

Implica suponer: circuito magnético perfectamente laminado y despreciar la influencia de las fieras macizas.

5. SE DESPRECIAN EL EFECTO SKIN. Efecto que provoca el aumento de la resistencia efectiva de los devanados y la disminución de su inductancia. DENSIDAD DE CORRIENTE UNIFORME EN TODA LA SECCIÓN DE LOS CONDENSADORES ELEMENTALES.6. SE DESPRECIAN LOS ACOPLAGMIENTOS CAPACITIVOS ENTRE LOS ARRULLAMIENTOS.7. LAS RESISTENCIAS DE LOS TRES ARRULLAMIENTOS ESTATORICOS SE ASUMEN IGUALES.8. SE DESPRECIA LA VARIACIÓN DE LA RESISTENCIA DE LOS DEVANADOS CON LA TEMPERATURA.9. CIRCUITOS AMORTIGUADORES REPRESENTADOS POR DOS ARRULLADORES EQUIVALENTES INDEPENDIENTES, UNO ALINEADO CON EL EJE DEL ROTOR (ESTE NÚCLEO DIRECTO) Y OTRO "90°" DEL ANTERIOR (EJE INTERPLANO O TRANSVERSAL).

Máquina síncrona trifásica bipolar. Estator que contiene tres arrollamientos de fase cuyos ejes magnéticos están desplazados 120° en el espacio uno del otro. Rotor de polos salientes que soporta el arrollamiento de campo. Amortiguadores tipo jaula de araña distribuidos a lo largo de la periferia rotatoria.

Representación por medio de SEIS ARROLLAMIENTOS:



- fases a, b, c estatoricas desfasadas 120° eléctricos en el espacio
- campo fd y amortiguador kd en el eje directo del rotor
- amortiguador kg en el eje en cuadratura del rotor

- Se representan los ejes magnéticos de los arrollamientos.
- Eje directo (d) y en cuadratura (q) giran solidarios con el rotor a velocidad $\omega = \frac{d\theta}{dt}$
- Ejes estatoricos (a, b, c) permanecen fijos.
- Eje (d) según eje magnético del arrollamiento de campo y el eje (q) 90° adelantado respecto a aquél.

A cada arrollamiento de fase se le asocia un eje cuya orientación coincide con el eje magnético del mismo. Referencia: eje de la fase a.

Los ángulos comprendidos entre los ejes de los arrollamientos de fase y el eje d, medidas positivamente en el sentido de rotación son:

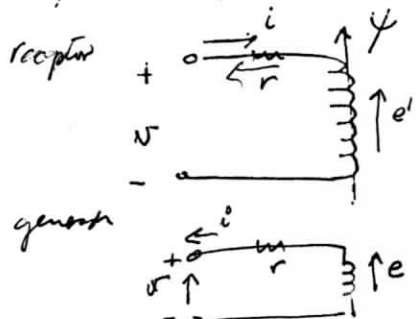
$$\theta_a = \theta$$

$$\theta_b = \theta + 120^\circ = \theta - 120^\circ$$

$$\theta_c = \theta + 240^\circ$$

El comportamiento instantáneo de cada uno de los arrollamientos estará descrito mediante tres variables: el voltaje impreso en sus bornes, la corriente que circula por el arrollamiento y el flujo concatenado.

correcto si $e' = \frac{d\Phi}{dt}$, $i' = -e'$
con signo negativo



Faraday:

$$V = ri + \frac{d\Phi}{dt}$$

$$V = e - ri$$

$$r = -\frac{d\Phi}{dt} - ri$$

$$r \text{ resistancia ohmica del arrollamiento}$$

Convención de signos del MOTOR.

La relación entre los flujos concatenados por los arrollamientos del estator y del rotor y sus respectivas corrientes puede expresarse a través de la siguiente relación matricial que tiene en cuenta las inductancias mutuas y propias de los devanados

Ψ_a	Laa	Lab	Lac	Laf	Lahd	Lakf	ia
Ψ_b	Lba	Lbb	Lbc	Lbf	Lbhd	Lbkg	ib
Ψ_c	Lca	Lcb	Lcc	Lcf	Lchd	Lchq	ic
Ψ_f	Lfa	Lfb	Lfc	Lfd	Lfhd	Lfqg	if
Ψ_{hd}	Lhda	Lbdb	Ledc	Lbdf	Lkd	Lkdkf	ikd
Ψ_{kf}	Lkga	Lkgb	Lkfc	Lkgf	Lkgkd	Lkf	ikf

Forma de variación de los coeficientes de inducción en función de θ . (geometría de la máquina).

Las inductancias propias y mutuas de los arrollamientos de fase en el estator varían con la posición del rotor, debido a que distintas posiciones de éste presentan distintas permeancias de los caminos de los flujos originados en el estator.

Además, como la estructura del rotor tiene dos ejes de simetría, cada 180° de giro se repite el mismo camino magnético, variando la inductancia en función del ángulo doble: 2θ .

Ej: para la fase a, Laa adquiere su valor máximo para $\theta=0^\circ$, es mínimo para $\theta=90^\circ$, máxima de nuevo para $\theta=180^\circ$ y así sucesivamente.

- b. Las inductancias propias y mutuas de los arrollamientos del rotor son constantes, pues siendo el estator una estructura cilíndrica ya que se desprecian los efectos del ranurado, los caminos magnéticos presentados a los fluxos rotóricos son independientes de la posición angular del rotor. Además como los ejes d y q están en cuadratura se verifica que:

$$L_{fkq} = L_{kqf} = 0 \quad ; \quad L_{kqb} = L_{bdkq} = 0$$

- c. Las inductancias mutuas entre los arrollamientos del rotor y el estator varían periódicamente en función del ángulo simple ya que el acoplamiento magnético se realiza entre un devanado fijo y otro giratorio.

Entre el arrollamiento de la fase a y el campo, por ejemplo, la inductancia será máxima positiva en $\theta = 0^\circ$, cero para $\theta = 90^\circ$, máxima negativa para $\theta = 180^\circ$ y cero para $\theta = 270^\circ$ y así sucesivamente.

Definimos:

$$\begin{bmatrix} \bar{V}_{abc} \end{bmatrix} = \begin{bmatrix} V_a \\ V_b \\ V_c \end{bmatrix}$$

$$\begin{bmatrix} \bar{V}_{fk} \end{bmatrix} = \begin{bmatrix} V_f \\ V_{kd} \\ V_{kf} \end{bmatrix}$$

$$\begin{bmatrix} \bar{I}_{abc} \end{bmatrix} = \begin{bmatrix} i_a \\ i_b \\ i_c \end{bmatrix}$$

$$\begin{bmatrix} \bar{i}_{fk} \end{bmatrix} = \begin{bmatrix} i_f \\ i_{kd} \\ i_{kf} \end{bmatrix}$$

$$\begin{bmatrix} \bar{\Psi}_{abc} \end{bmatrix} = \begin{bmatrix} \psi_a \\ \psi_b \\ \psi_c \end{bmatrix}$$

$$\begin{bmatrix} \bar{\Psi}_{fk} \end{bmatrix} = \begin{bmatrix} \psi_f \\ \psi_{kd} \\ \psi_{kf} \end{bmatrix}$$

$$\boxed{R_s} = \begin{array}{|c|c|c|} \hline r_s & 0 & 0 \\ \hline 0 & r_s & 0 \\ \hline 0 & 0 & r_s \\ \hline \end{array}$$

$$\boxed{R_r} = \begin{array}{|c|c|c|} \hline r_f & 0 & 0 \\ \hline 0 & r_{kd} & 0 \\ \hline 0 & 0 & r_{kf} \\ \hline \end{array}$$

$$\boxed{L_{rr}} = \begin{array}{|c|c|c|} \hline L_{fd} & L_{fkd} & 0 \\ \hline L_{fhd} & L_{hd} & 0 \\ \hline 0 & 0 & L_{kf} \\ \hline \end{array}$$

$$\boxed{L_{ss}} = \begin{array}{|c|c|c|} \hline L_{aa} & L_{ab} & L_{ac} \\ \hline L_{ab} & L_{bb} & L_{bc} \\ \hline L_{ac} & L_{bc} & L_{cc} \\ \hline \end{array}$$

$$L_{aa} = L_{so} + L_{sv} \cos 2\theta$$

$$L_{bb} = L_{so} + L_{sv} \cos 2(\theta - 2\pi/3)$$

$$L_{cc} = L_{so} + L_{sv} \cos 2(\theta + 2\pi/3)$$

$$L_{ab} = M_{so} + L_{sv} \cos 2(\theta + \pi/3)$$

$$L_{bc} = M_{so} + L_{sv} \cos 2\theta$$

$$L_{ac} = M_{so} + L_{sv} \cos 2(\theta - 2\pi/3)$$

$$L_{af} = M_{fs} \cos \theta$$

$$L_{bf} = M_{fs} \cos (\theta - 2\pi/3)$$

$$L_{cf} = M_{fs} \cos (\theta + 2\pi/3)$$

$$L_{akd} = M_{ks} \cos \theta$$

$$L_{bkd} = M_{ks} \cos (\theta - 2\pi/3)$$

$$L_{ckd} = M_{ks} \cos (\theta + 2\pi/3)$$

$$L_{akf} = -M_{ks} \sin \theta$$

$$L_{b kf} = -M_{ks} \sin (\theta - 2\pi/3)$$

$$L_{ckf} = -M_{ks} \sin (\theta + 2\pi/3)$$

$$\boxed{M_{sr}} = \begin{array}{|c|c|c|} \hline L_{af} & L_{akd} & L_{akf} \\ \hline L_{bf} & L_{bkd} & L_{bkf} \\ \hline L_{cf} & L_{ckd} & L_{ckf} \\ \hline \end{array}$$

$$\boxed{M_{rs}} = \boxed{M_{sr}}^t$$

Ecuaciones de la maquinaria :

$$\left[\bar{V}_{abc} \right] = \boxed{R_s} \left[i_{abc} \right] + \frac{d}{dt} \left[\Psi_{abc} \right]$$

$$\left[\bar{V}_{fk} \right] = \boxed{R_r} \left[i_{fk} \right] + \frac{d}{dt} \left[\Psi_{fk} \right]$$

$$\left[\Psi_{abc} \right] = \boxed{L_{ss}} \left[i_{abc} \right] + \boxed{M_{sr}} \left[i_{fk} \right]$$

$$\left[\Psi_{fk} \right] = \boxed{M_{rs}} \left[i_{abc} \right] + \boxed{L_{rr}} \left[i_{fk} \right]$$

Eliminando los flujos :

$$\left[\bar{V}_{abc} \right] = \boxed{R_s} \left[i_{abc} \right] + \frac{d}{dt} \left[\boxed{L_{ss}} \left[i_{abc} \right] \right] + \frac{d}{dt} \left[\boxed{M_{sr}} \left[i_{fk} \right] \right]$$

$$\left[\bar{V}_{fk} \right] = \boxed{R_r} \left[i_{fk} \right] + \frac{d}{dt} \left[\boxed{M_{rs}} \left[i_{abc} \right] \right] + \boxed{L_{rr}} \frac{d}{dt} \left[i_{fk} \right]$$

Definiendo :

$$\left[i \right] = \begin{array}{|c|c|} \hline i_{abc} \\ \hline i_{fk} \\ \hline \end{array};$$

$$\boxed{L} = \begin{array}{|c|c|} \hline L_{ss} & M_{sr} \\ \hline \hline M_{rs} & L_{rr} \\ \hline \end{array}$$

Resulta el par : $T_m = \frac{1}{2} \left[i \right]^t \left\{ \frac{\partial}{\partial \theta} \boxed{L} \right\} \left[i \right]$